

中国煤变质作用*

杨 起

吴冲龙

汤达祯 康西林 刘大猛**

(能源地质系, 北京 100083) (资源学院, 武汉 430074) (能源地质系, 北京 100083)

摘要 通过煤变质热源及其作用方式的研究, 总结了中国煤变质作用主要类型、动态地史—热史模拟表明, 煤盆地的地热状态以非均一地温场影响深成变质格局, 如鄂尔多斯盆地三叠纪的地温高于前时代, 大地热流值向盆地中心增高, 四川盆地中心真露面较浅, 与高变质煤分布基本一致。区域岩浆热变质是形成中国大多数中高煤级煤的主因, 模拟分析了湘赣中南部印支—燕山期花岗岩体与煤变质、煤热水变质作用以裂隙的深循环流体构成源生热源, 确定了抚顺盆地裂隙期古霍普面温度值, 计算出抚顺煤层经成岩作用的煤级和经后期辉绿岩浆侵入的增高煤级, 建立了解绿岩带散热过程的多层次非稳态导热模型, 计算出冀粤叠合盆地永安煤经深成变质和叠加岩浆热变质的煤级, 中国煤变质规律主要表现为: 在构造稳定区, 煤变质作用具有继承性发展的特点; 煤变质地热背景表现出明显的时空变化; 多热源、多阶段叠加变质作用对中国煤的变质演化起十分深刻的影响, 特别是燕山期区域岩浆热变质作用对中国煤级起着显著的改造作用; 第三纪的构造位移奠定了中国煤级分带的分布格局。

关键词 煤变质作用类型, 多阶段多热源叠加变质作用, 动力学模拟, 煤变质规律。

中国分类号 P511.5, P618.11

第一作者简介 杨起, 男, 教授, 中科院院士, 1919 年生, 1946 年毕业于北京大学地质学系, 获硕士学位, 现主要从事煤田地质、煤变质作用及煤综合利用与环境保护方面的研究。

0 引言

中国大陆位于欧亚板块东南部, 多期构造运动的叠加改造形成了复杂的中国大地构造格局, 中生代运动, 特别是燕山运动, 对中国煤变质的演化和中高煤级煤变质带的形成起了重要作用。

中国煤变质在空间上具有明显的分区带性, 根据大地构造、聚煤时代、地形地貌以及煤级的分布等一系列特征, 可划分出北、中、南 3 大煤变质区。北区与中区以艾比湖—居延海—索伦—西拉木伦地壳对接消减带为界; 中区与南区以修沟—玛沁—山阳—桐城地壳对接消减带为界。3 大煤变质区可以贺兰山—龙门山—哀牢山一线为界进一步划分成 6 个煤变质亚区, 其中准噶尔、塔里木与青

藏高原煤变质亚区位于西部, 松辽、华北和华南煤变质亚区位于东部, 各亚区的内部还可划分出若干个煤变质带。

中国晚古生代煤都已超过成岩阶段而且中高煤级煤占重要比例, 中生代煤以低煤级烟煤为主, 也有未达变质阶段的褐煤; 第三纪煤除少数地点出现低煤级烟煤外, 多为处于成岩阶段的褐煤^[1], 在空间分布上, 中国煤级总体有自北而南, 从西到东逐渐增高的趋势(图 1)。

1 中国煤的主要变质作用类型

中国主要存在 4 种煤变质作用类型, 即煤的深成变质作用、区域岩浆热变质作用、接触变质作用和热液热水变质作用。由于其热源类型、热传导方式、热源的埋深、规模、形态等各不相同, 由此而引起的煤变质特征也有差异。煤的深成变质作用具有普遍性; 区域岩浆热变质作用涉及的地域广且叠加

1996 年 2 月 7 日收稿。

* 地质矿产部重点地质科技项目资助。

** 潘治贵、苏玉春、陈基娘、周春光、刘刚和周江羽也参加了工作。

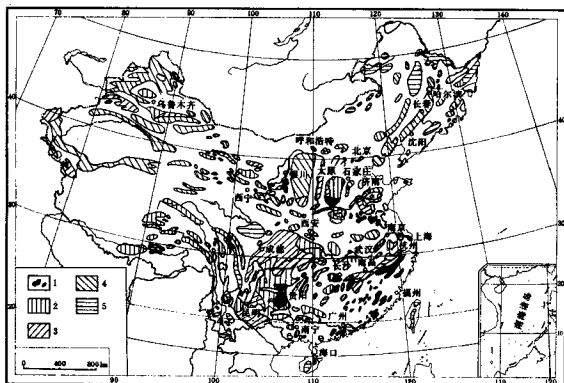


图1 中国主要聚煤期煤级分布略图

Fig.1 Sketch showing the distribution of coal ranks during main coal-forming periods in China

1. 无烟煤; 2. 高变质烟煤; 3. 中变质烟煤; 4. 低变质烟煤; 5. 椰煤; 图中界线按中国地图出版社1989年出版的《中华人民共和国地形图》绘制

效果显著; 煤的接触变质作用也较常见, 但影响范围有限; 煤的热液热水变质作用可在断裂带或岩浆活动区发育。

1.1 煤的聚成变质作用

晚古生代, 华北地台与扬子地台主体为巨型波状坳陷, 构成当时主要聚煤区。印支早期, 中国北方普遍发育干旱气候下的红色沉积, 海水逐渐退居秦岭—祁连山—昆仑山一线以南。印支晚期, 统一大陆形成并开始出现东西分异的新格局。我国东部, 范围广阔的三叠纪沉积对古生代煤系的保存起重要作用。至晚三叠世, 北方沉积区明显向西萎缩, 南方则出现狭长坳陷带与大型波状坳陷分别隅于东西的格局(图2)。燕山早期, 新的聚煤坳陷或叠加在早先克拉通内稳定盆地之上继承性发育, 或在块断基础上产生, 以三叠系、侏罗系为主体的大型坳陷如鄂尔多斯盆地、四川盆地得以长期继承性发展, 这类大型盆地在重力负荷配套作用下, 主要表现为整体的升降运动。燕山晚期至喜山早期, 中国西部出现含煤区为褶皱山系分割环绕的宏观局面; 中国东部多数煤系因盖层剥蚀而临近地表, 煤的深成变

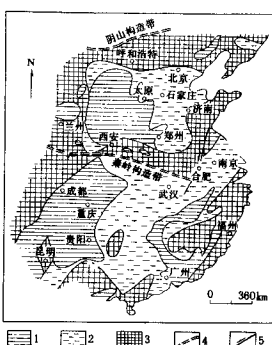


图2 中国东部三叠纪沉积分布

Fig.2 Distribution of Triassic deposits in eastern China
1. 三叠纪沉积区; 2. 晚三叠世隆起区; 3. 基底隆起; 4. 构造带; 5. 断裂带

质作用趋于“停滞”状态。

随着地壳拉伸减薄、挤压增厚、沉积补偿甚至壳层变质，都可能引起地球表层热流的起伏变化^[2~3]。诸如松辽盆地、柴达木盆地、塔里木盆地等中新生代大型坳陷中心位置上至今表现为地壳厚度减小、莫霍面隆起，地温梯度呈现由盆缘向盆内增高 的趋势。

四川盆地现今地温等值线平面分布与盆地轮廓形态相近，盆地内部基底稳定，在南充、内江一带莫霍面深度<39 km，向周围地壳厚度增大，尽管在盆地东部华蓥山，盆地西南古蔺—沐川曾受构造、岩浆活动带来高温的影响，盆地内煤级分布仍然与莫霍面深度有着明显对应关系（图3），地幔隆起不仅影响到煤的深成变质地热状态，甚至还曾制约着构造变动和盆地沉积充填过程。

鄂尔多斯盆地是华北地台东升西降过程中逐渐发育成形的中生代大型坳陷，印支期盆内三叠系的发育主要服从于区域性北隆南拗的构造格局，盆地南部长武—铜川—韩城一线三叠系总厚可达3000 m左右，燕山期出现的东西差异沉降，使盆地向西萎缩，沿西缘断裂展布的沉降中心位置，侏罗系最大厚度近3000 m，白垩系亦有厚逾千米的沉积。在盆地东北缘，拟合的热流值自寒武纪到现代，大约从67.2 mW/m²减弱为42 mW/m²；在盆地东南和南部，三叠纪热流值随沉降幅度增大而显著增高可达91.6~100.4 mW/m²。

深成变质作用通常使中国晚古生代煤达到低—中变质烟煤阶段，中生代煤多进入低变质烟煤阶段，而第三纪煤以褐煤为主，中、新生代大型盆地中

巨厚盖层的发育，可使不同时代煤在较大的埋深下经历长期持续的深成变质作用，产生局部中—高变质煤级，地温分布的不均一性及其随时间的地温场变化也在一定程度上制约着中国煤深成变质作用的发展。

1.2 煤的区域岩浆热变质作用

根据岩浆性质、侵入规模、侵入深度和沉积盖层的封闭程度等，可将区域岩浆热变质作用划分为3个亚型，即浅成、中深成和深成岩浆热变质作用。浅成岩浆热变质作用主要是由小型的中酸性和基性侵入岩体所引起，侵入深度一般距地表0.5~1.5 km。煤层的沉积盖层较薄，断裂发育，岩浆主要侵入煤系，中深成岩浆热变质作用的热源主要来自中酸性和碱性岩浆，岩体常为岩床、岩株或岩瘤，热液和热气作用较强，岩浆主要侵位于含煤岩系以下地层，侵入深度一般为1.5~3 km，多形成中等规模的煤变质带，深成岩浆热变质作用多由大型酸性隐伏岩体所引起，热液和热气作用强烈，侵入深度距煤层一般大于3 km，形成大面积煤变质分带。

区域岩浆热变质煤常可达到很高的变质程度，煤级分带一般为环带状，越靠近岩体，煤的变质程度就越高（图4），受区域岩浆热变质作用影响的煤，变质梯度高，一般大于 $0.1R_{\text{c},\text{max}}\% / 100 \text{m}$ 。由于遭受了异常高温作用，煤中常发育气孔、小球体和镶嵌结构。高变质煤带的围岩往往发生蚀变，如硅化、叶腊石化、绢云母化、碳酸盐化、绿泥石化以及黄铁矿化等。热液石英脉和方解石脉是区域岩浆热变质作用的重要标志。此外，在区域岩浆热变质作用发育的地区常伴有热液矿床。中新生代岩浆活



图3 四川盆地莫霍面深度(km)

(a)与晚二叠世煤化作用(%)

(b)等值线图

Fig.3 Contour maps of the depth of Moho (a) and of coalification at Late Permian (b) in Sichuan Basin

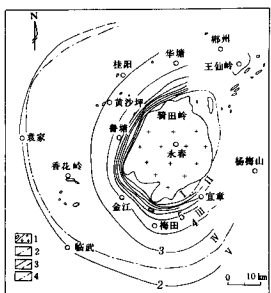


图4 湖南骑田岭龙潭组煤变质带环带图

Fig.4 Coal metamorphism zoning of Longtan Formation of Qitianling, South Hunan

I. 石墨、半石墨带; II. 高变质无烟煤带; III. 中变质无烟煤; IV. 低变质无烟煤带; V. 黄煤带; VI. 侵入岩带; 2. 岩体断层部分界线; 3. $R_{max}(\%)$ 等值线; 4. 煤级分布界线

动,尤其是燕山期岩浆的侵入活动,导致一系列中、高变质煤的形成。燕山期岩浆活动强度大、波及范围广、具多期多次性和南方强于北方、东部强于西部的特点,决定了区域岩浆热变质作用南强北弱、东强西弱,并促成了在中国北纬 38° 以北地区以低变质煤为主,而东南地区高变质煤占主导地位,其他地区则赋存有中、高级煤占较大比例的多煤级分带的总格局^[7-9]。喜马拉雅期的岩浆侵入活动较弱,只有少量第三纪褐煤受其影响而变质为低煤级烟煤。由于岩浆侵入及其所引起的区域岩浆热变质作用在空间分布上具有方向性,致使中国中、高煤级煤的分布也有一定的规律,它们主要沿纬向构造和东北—西北东向构造或二者交汇处分布。

1.3 煤的接触变质作用

根据岩体规模及侵入方式,将煤的接触变质作用分为3个亚型,脉岩岩浆接触变质作用、小型浅成岩浆接触变质作用和大型深成岩浆接触变质作用。接触变质作用使煤层、煤的显微组分、煤级、化学及工艺性质、显微结构和化学结构等均受热发生变化。由于侵入岩浆的温度高,与岩体接触的煤层大多变为天然焦;条件适宜时,如除高温外,压力较大而又封闭条件较好的情况下可出现半石墨或石

墨,煤的接触变质带由接触处向外,一般可分为焦岩混合带、天然焦带、焦煤混合带及热变煤带,由于岩浆作用,围岩常发生蚀变,形成高、中、低温围岩蚀变带,如在高温带($550 \sim 650^{\circ}\text{C}$)发生泥质岩角岩化,产生夕线石、红柱石、堇青石及硬绿泥石等变质矿物组合,碳酸盐岩大理石化,形成硅灰石、橄榄石、辉石等变质矿物组合;中温带($400 \sim 550^{\circ}\text{C}$)泥质岩形成铁铝榴石、十字石、蓝晶石、红柱石,碳酸盐岩形成阳起石、透闪石及钙铝榴石;低温带($200 \sim 400^{\circ}\text{C}$)出现泥质岩伊利石化、绢云母化、绿泥石化、黑云母化及堇青石化,碳酸盐岩绢云母化及绿泥石化。典型的煤接触变质作用,即由脉岩与小型浅成岩浆引起的煤接触变质作用,由于岩体规模小、热量少、散热快,影响所及的范围有限。

1.4 煤的热液热水变质作用

煤的热液热水变质作用是指来自地壳深部的岩浆分异热液或高温承压水所形成的异常地热场导致煤的变质作用。按热流体性质可分为热液变质作用和热水变质作用两个亚型。前者是煤田、矿区深部或附近有聚煤期后的岩浆活动和热液活动;后者指煤田内或附近有深大断裂带、断层和透水层等热液运移通道。两者都需要在煤田内或附近有保持热液或热水循环的地形和水文地质条件。煤的热液热水变质温度比正常深成变质的温度高得多,可接近区域岩浆热变质的温度,而低于接触变质作用的温度。热液热水变质煤的埋藏深度浅,同时热液活动区的断层、裂隙多属张性开放系统,所以流体压力一般较低。热液热水变质的作用时间与岩浆散热期或深循环热液、热水活动期相同或稍短,一般为几万年到几十万年,少数可达几百万年。热液热水变质煤的煤级展布比较复杂,在同一煤系中,煤层的煤级可呈现上高下低或波状起伏形态,平面上,煤级总的变化趋势与地下水流向和距热液、热水活动通道的距离有关,越靠近主通道煤级越高。

2 中国煤变质作用的热动力学分析

2.1 煤变质作用热动力学分析的原理与方法

根据地热学的一般原理,控制煤及分散有机质演化—变质作用的热状态总体特征,可用含煤、含油气岩系各点古地热流的大小和方向来描述。而含煤、含油气岩系古地热流是古热导率和古地温梯度

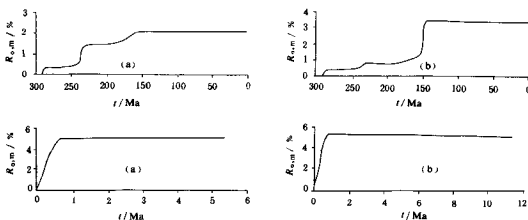


图5 福建清流(a)、南安(b)深成变质作用条件下(上)及叠加区域岩浆热变质作用条件下(下)计算机模拟煤化作用曲线
Fig.5 Computer simulated coalification curve in Qingliu (a) and Nan'an (b) of Fujian Province under geothermal metamorphism (upper) and superimposed tectonic metamorphism (lower)

热传导与降温过程以及煤层在大规模岩浆侵入情况下的升温和变质过程。通过模拟计算出宁化(甘木潭)、清流(罗口)、永安(加福)、大田(上京)、安溪(剑斗)和南安等6个煤产地在上、下两个叠合盆地封闭时的地壳古热结构(表3),进而发现在深成变质作用条件下,下二叠统童子岩组的煤级只能达到肥煤(盆地边缘)—低级无烟煤(盆地中心),而在聚煤期后多期大规模花岗岩岩浆侵入的情况下,所造成的附加地热场使其达到中级无烟煤(盆地边缘)—超无烟煤(盆地中心)(图5),因此该研究区煤级超常增高,是在深成变质的基础上叠加了多期次强烈的区域岩浆热变质作用的结果。

3 中国煤的多阶段变质演化与多热源叠加变质

中国煤之所以煤级较全并形成现今的煤级分布格局,主要是由于它们一般经历了多阶段演化和经受了多热源叠加变质作用。

3.1 第一演化阶段以深成变质作用为主

以华北为例晚古生代煤系,一般厚度不足300m,而三叠系厚达1000~2100m,个别地区更厚,三叠系对华北的石炭二叠纪煤的深成变质程度起着重要作用,但总的煤系的盖层仍较薄,因此未受异常热影响的华北晚古生代煤级一般低于肥煤阶段。内蒙古青山石拐沟为多纪煤田,其晚古生代产气煤、肥煤、早、中侏罗世的煤达气煤阶段,而时代最



图6 保和堂龙潭组煤级反向环带图
Fig.6 The reverse lobes of coal rank in the Longtan Formation, Baohetang mining district, central Hunan Province
1. 岩浆侵入体; 2. 隐伏岩体; 3. V_{ad} (%) 等值线; 4. 中温热液矿点; 5. 浅成低温热液矿点

新的早白垩世煤仍为褐煤。

3.2 第二演化阶段以多热源叠加变质作用为主

中国赋存着比较丰富的中、高煤级煤资源,它们不是单纯深成变质作用的结果,而是又叠加了其他变质作用所致,促使中国煤变质的热源和变质作用类型多样化,在煤的第二演化阶段发育了多种叠加变质作用类型。

3.2.1 深成变质叠加区域岩浆热变质作用 整个湘中涟邵煤田周围为断续出露的中生代侵入体所环绕,并在南北两个含煤向斜群之间又有望云山、白马山、龙山等岩体作东西向分布,构成南北含煤向斜群都被断续分布的中生代岩体所环绕(图6),

因此导致淮邵煤田南北两部分的低煤级煤从中心向周边部煤级增高,发育为中、高煤级反向环带。

3.2.2 深成变质量加一次以上的区域岩浆热变质作用 峰峰康二城井下燕山期正长岩岩浆顺太原组野青煤层底部侵入,形成岩床,煤并未转变为天然焦却成为粉末状无烟煤。而邻区未受岩浆侵入的同一煤层仍为肥气煤。原来早在燕山早期内长岩岩浆就侵入到距野青煤之下150~500 m的中奥陶世灰岩中,闪长岩岩浆的“烘烤预热作用”已使野青煤经受了第一次区域岩浆热变质而失去了粘结性,已不再具备结焦条件。因此正长岩岩浆侵入导致叠加的第二次区域岩浆热变质只能使煤级进一步增高而不能形成天然焦。在深成变质作用基础上叠加一次以上区域岩浆热变质作用在福建最为典型。由于太平洋板块多次向西俯冲中国大陆板块,海西—印支期、燕山早期与晚期都有构造岩浆事件发生,如大田的上京早二叠世童子岩组至少经过3期岩浆侵入,煤经受了多次区域岩浆热变质作用, $R_{o, m}$ 高达5.6%。

3.2.3 深成变质量加区域岩浆热变质和接触变质作用 此处指的是与区域岩浆热变质作用伴生、共同叠加于深成变质煤的接触变质作用。由于岩浆温度高、热量大、压力大、盖层封闭条件较好,常可形成一定规模的石墨、半石墨矿,如湘南中生代骑田岭花岗岩岩浆侵入造成的区域岩浆热变质影响范围较广,向西距岩体34 km的袁家向斜的煤,其 $R_{o, m}$ 仍高达1.91%,同时与岩浆直接接触的煤层变质为100~400 m宽的石墨带和400~1000 m宽的半石墨带。

3.2.4 深成变质量加热液、热水变质作用 叠加热水变质作用的典型实例是青海中侏罗世热水煤田。煤田北部的海德尔和默勒矿区只经受深成变质作用的煤为长焰煤、不粘煤和弱粘煤,而煤田南部的外力哈达与热水矿则从肥煤到无烟煤都有赋存,且同一剖面出现中间二煤层高于上下煤层的反希尔特规律的现象。煤田及邻区未见成煤期后的侵入体,南部矿区断层发育并有多处温泉沿断层分布,导致煤级提高的热源是深循环热水,它沿煤田南界通道F,断层上导,再通过与之斜交的次级断裂和作为热循环三级通道的二煤层顶板沙岩以及作为四级通道的煤、岩层的裂隙,因此中间的二煤层煤级高于上覆和下伏煤层。

3.2.5 深成变质作用叠加区域岩浆热变质和热液、热水变质作用 以福建永安加福煤矿为例,由于中生代的多期岩浆活动使福建大部分地区的古地热值较高,加福矿区童子岩组煤的沉降深度又较大,约为4000 m,因此在深成变质作用下加福煤的 $R_{o, m}$ 已达1.8%~2.0%,形成小陶岩体的燕山早期岩浆侵入于矿区之南,距加福最近处为9 km,出露面积约1200 km²,对加福煤产生了区域岩浆热变质的叠加效果,使煤的 $R_{o, m}$ 提高到4.5%。但加福煤的实测 $R_{o, m}$ 为5.44%,显然加福煤除受小陶岩体传导热之外,还受到因侵入形成的地下热液、热水对流传热的叠加影响,进一步将煤级提高到 $R_{o, m}$ 5.44%。

3.2.6 深成变质量加区域岩浆热变质、热液热水变质和接触变质作用 这种煤的叠加变质特点可以鸡西煤田为例。鸡西的主要含煤组是城子河组和穆棱组,深成变质作用使鸡西煤达到气煤、肥煤阶段,而多数地区如大通沟、清道、黑台、平岗和张新东南部有较大型侵入岩体,使叠加了区域岩浆热变质的煤达到焦煤阶段,少数达贫煤、无烟煤阶段。而新兴、二吕地区受到叠加热液变质影响的煤达到焦煤、瘦煤阶段;煤田内还发育了多处小型侵入体,如二道河闪长玢岩与煤接触产生天然焦。

导致煤叠加变质的侵入岩浆热源还包括派生的液热、气热和岩体的放射性元素衰变热。深大断裂带常常是地下深处地热上导的通道,如鄰魯断裂带沿线的沂南和庐江附近的地温多高于邻区3~5℃,邻近密山—敦化断裂带的鸡西其地温梯度为3.57℃/100 m,依兰—伊通断裂带附近辽源的地温梯度为3.42℃/100 m。沿雅鲁藏布江断裂带除高温上导外,还有多次喜山期岩浆活动,以上断裂带附近的煤层都有不同程度的增高,地壳厚度随变带常是长期发育的深大断裂带,如太行山重力梯度带附近的邯邢、鹤壁煤田,银川—六盘山重力梯度带附近的鲁斯托、汝箕沟都有中、高级煤分布。

地温增高还可能起因于地幔物质上涌形成的地幔柱或莫霍面的抬升,如辽河下游,河南商丘、鹿邑,江西安福、遂川、贵州贞丰、罗甸,四川内江等地莫霍面都较周围地区浅约2 km,导致煤的变质程度增高。

3.3 第三演化阶段以奠定中国煤变质格局为主

第三演化阶段提高煤级不再是主要的,而是以中生代晚期、新生代的构造运动使前两个演化阶段

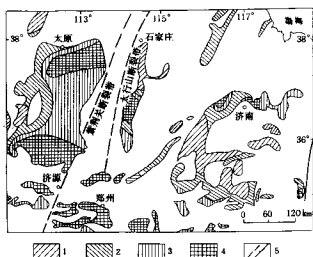


图7 紫荆关断裂带的右旋活动将东侧煤变质带南移
Fig.7 Zijinshan dextral fault zone removed coal metamorphic zonation in east side southwards

1. 低变质烟煤；2. 中变质烟煤；3. 高变质烟煤；4. 无烟煤；5. 断层

形成的煤变质分带产生位移为特征，通过构造变动最后奠定了中国煤变质格局。对前两个阶段形成的煤变质分带起显著改造作用的是北东—北北东向深大断裂，如第三纪紫荆关断裂沿北北东向作右旋移动（图7），使紫荆关断裂以东的太行山东麓与鲁中高煤级带，相对断裂西侧的沁水盆地北端，向南移动了大约所处纬度 1° 左右的距离，原来与紫荆关西侧晋东南高煤变质带处于同一纬度的豫中高煤级带也相应地南移，这种位移是由于太平洋板块向欧亚板块作北西向俯冲，使北东—北北东向紫荆关断裂出现顺扭剪切运动。郯庐断裂带新第三纪以来也是以挤压兼右旋剪切为主^[3]。位移常使已形成的煤变质分带遭到破坏，如太行山东麓煤田的煤变质分带原为串珠状，在第三阶段受到断裂切割，使残留的变质分带貌似垂直于区域走向、隆升地区的煤级分带一般会因遭受剥蚀而残破不全。

4 结语

（1）中国煤的变质作用主要存在4种类型。煤的深成变质作用具有普遍性，煤盆地的地热状态以非均一地温场影响深成变质作用格局，深成变质奠定了以低煤级为主的变质基础。煤的区域岩浆热变质作用是中国另一重要的煤变质作用类型，是形成中国大多数中高煤级煤的主要原因。煤的热液热水

变质作用发生在对流为主的热体制中，载热的深循环流体构成源生热源。煤的接触变质作用影响范围局限。（2）从地热状态平衡与破坏的角度，将深成地热流与叠加地热流分析综合，成功地建立了以沉降史为基础的煤变质作用动力学模型，并以抚顺煤田和浙闽东部地区为例定量地描述了多阶段、多热源叠加的煤变质作用。（3）中国多煤级煤的形成是多阶段演化、多热源叠加变质的结果。中国煤的第一演化阶段是以深成变质作用为主，主要形成低煤级煤，第二演化阶段以多热源叠加变质为主，使部分低煤级煤提高到中、高煤级，叠加于深成变质的有区域岩浆热变质、接触变质和热液热水变质中的一种或多种。第三演化阶段的特点是构造变动使已形成的煤变质分带产生位移，奠定了中国煤的变质格局。

参 考 文 献

- 1 杨起.中国煤变质研究.地球科学——中国地质大学学报,1989,14(4):341~345
- 2 Cochran J R. Effects of finite rifting times on the development of sedimentary basins. Earth Plant Sci Lett, 1983, 66: 289~302
- 3 Falvey D A, Middleton M F. Passive continental margins: evidence of a prebreakup deep crustal metamorphic subsidence mechanism. Colloquium on Geology of Continental Margins (C3), Oceanologica Acta, 1981, 4 (suppl): 103~114
- 4 McKenzie D. Some remarks on the development of sedimentary basins. Earth Plant Sci Lett, 1978, 40: 25~32
- 5 Sawyer D S. Effects of basement topography on subsidence history analysis. Earth Plant Sci Lett, 1986, 78: 427~434
- 6 潘伟尔,杨起,潘治贵.湘赣中南部煤的岩浆热变质作用.现代地质,1993,7(3):326~336
- 7 杨起.煤化作用.见:杨起主编.煤地质学进展.北京:科学出版社,1988,156~195
- 8 杨起.煤变质作用研究.现代地质,1992,6(2):437~443
- 9 杨起,任德财.中国煤变质问题的探讨.煤田地质与勘探,1981,(1): 1~10
- 10 杨起,潘治贵,翁成敏.华北石炭二叠纪煤变质特征与地质因素探讨.北京:地质出版社,1988, 60~83
- 11 张文佑,叶洪,钟嘉猷.断块与板块.中国科学,1978, (2): 195~221

COAL METAMORPHISM IN CHINA

Yang Qi

(Department of Energy Resources and Geology, China University of Geosciences, Beijing 100083)

Wu Chonglong

(Faculty of Earth Resources, China University of Geosciences, Wuhan 430074)

Tang Dazhen Kang Xidong Liu Dameng

(Department of Energy Resources and Geology, China University of Geosciences, Beijing 100083)

Abstract The predominant coal metamorphism types in China are summed up through the study of the heat source and its operating mode on coal metamorphism. The dynamic simulation of geologic-thermal history shows that the geothermal state of coal basins influenced the geothermal metamorphism pattern of coal with inhomogeneous geotemperature field. For example in Ordos basin, not only the Triassic geotemperature was obviously higher than that of the previous or later and also the geothermal flux increased from the margin to the center of the basin. The basement of Sichuan basin is relatively plastic, and towards its center the Moho depth is shallower, which is on the whole in accordance with the medium-high rank coal distribution. The tectonogenic metamorphism is the main cause for the formation of the larger number of medium-high rank coals in China. The coal metamorphism provoked by magma intrusion during the Indosinian and Yanshanian in central-southern Hunan and Jiangxi Provinces is simulated. Deep circulating fluid as the heat carrier constructs the induced heat source of hydrothermal metamorphism. The paleo-Moho temperature during the rifting of the Fushun basin is determined and the coal rank through diagenesis in the basin is calculated, which reaches the low-rank bituminous stage owing to the later intrusion of diabase magma. The non-equilibrium heat conduction model of multilayer plate during the heat dispersion of the diabase sill is set up. Also worked out is the Yongan coal rank, located in the superimposed basin of Fujian-Guangdong, which was formed by deep metamorphism and additive magmatic metamorphism. The metamorphism regularities of Chinese coals mainly are: in the tectonic stable region, the coal metamorphism characterized by the nature of inherited development; the geothermal background of coal metamorphism displaying the obvious space-time changes; in multi-heat sources and multi-period superimposed metamorphism influence profoundly over the evolution of Chinese coal metamorphism especially the tectonogenic metamorphism since Yanshan orogeny have evidently reformed the Chinese coal marks; the Tertiary tectonic displacement brought about the distribution frame of the Chinese coal-rank zonation.

Key words coal metamorphism type, multi-period evolution and multi-heat sources superimposed metamorphism, dynamic simulation, coal metamorphic regularity.

新疆沙尔布拉克金矿床成因矿物学成矿模式*

方耀奎

(成都理工学院应用化学系, 成都 610059)

摘要 通过沙尔布拉克金矿床标型矿物组合中黄铁矿、毒砂及石英的化学成分、矿物包裹体及同位素等标型特征及时空演化的研究, 论述了该矿床地下热卤水溶滤型的成因矿物学成矿模式。

关键词 沙尔布拉克金矿床, 载金矿物, 标型特征, 成矿模式, 新疆。

中图法分类号 P611, P571, P618.51

作者简介 方耀奎, 男, 教授, 1938 年生, 1961 年毕业于北京地质学院放射性地质专业, 现主要从事矿床地球化学教学和科研工作。

新疆沙尔布拉克金矿是近年来首次确认的微细浸染型(卡林型)金矿床, 该类型金矿不仅为新疆阿尔泰地区提供了规模较大的黄金基地, 而且对我国, 尤其是北疆地区找寻同类型金矿床具有重要的意义。

1 矿区地质概况

沙尔布拉克金矿床位于额尔齐斯褶皱带和布尔津—二台褶皱带过渡地带的沙尔布拉克—喀拉通克复向斜中^[1]。主要构造线方向为 NW 向, 下石炭统南明水组(C_1n)出露在矿区范围内, 厚度近千米, 主要岩性为: 底部(C_1n^1)以含炭粉砂岩、泥岩为主, 其次为岩屑砂岩、砾岩及骨屑灰岩, 中部(C_1n^2)为含炭粉砂岩, 岩屑砂岩、安山质凝灰岩, 条带状含炭凝灰岩夹电气石岩, 是矿区的主要赋矿层位, 上部(C_1n^3)以含炭粉砂岩、粉砂质泥岩为主, 其次为岩屑砂岩、砾岩, 该套地层属强后盆地中的深水一半深水陆棚火山碎屑岩和正常碎屑岩建造, 因受区域构造、岩浆活动影响, 导致南明水组出现绿纤石—葡萄石相的低温变质作用, 矿区见有流纹斑岩脉及安山玢岩岩墙。

矿区主要构造格局是由南明水组组成一系列

NW 向平行线状褶皱的背斜、向斜, 其中在沙尔布拉克主背斜 NE 翼近轴部, 走向为 NW 向的逆冲断层中, 发育有一系列呈雁形排列、倾向 SW、走向 $290^\circ \sim 340^\circ$ 的切层逆断层和倾向 NE、走向 NW $320^\circ \sim 340^\circ$ 的顺层逆断层以及两者配套的近 E-W 向平移断层, 构成了具菱形网格, 长达 20 余公里的韧—脆性挤压剪切带, 是矿区金的主要控矿构造。其次, 矿区尚有切割主背斜两翼近 E-W 走向, 控制弱金矿化的平移断层。

金矿化带赋存于韧—脆性挤压剪切带内含炭粉砂岩、安山质凝灰岩、含炭条带状沉凝灰岩, 通常矿体成群出现, 具等距特点和侧列排列, 单个矿体呈透镜状、脉状, 常有膨大收缩、尖灭再现、分支复合现象, 矿体长为 $60 \sim 480$ m, 宽 $1.43 \sim 15.00$ m。金的平均含量为 $2.06 \times 10^{-6} \sim 5.82 \times 10^{-6}$, 矿化形式主要为浸染状, 其次为细脉~网脉状, 矿体与围岩界限不清。

矿体围岩热液蚀变作用有毒砂化、黄铁矿化、硅化、钠长石化、电气石化、碳酸盐化、绿泥石化、绢云母化等, 热液蚀变作用的种类及强度与金矿化关系十分密切。

金矿石中主要脉石矿物为石英、方解石、白云石、铁白云石及少量钠长石、电气石、绢云母、绿泥石等, 主要矿石矿物为毒砂、黄铁矿, 其他矿石矿物少见, 表生矿物以褐铁矿、臭葱石为主, 含少量黄钾

1995 年 5 月 2 日收稿。

* 新疆地矿局科研项目(91—115)资助。